

行政院國家科學委員會專題研究計畫 期中進度報告

子計畫三：強關聯系統中的相分離、電荷有序與 Kondo 效應

(2/3)

計畫類別：整合型計畫

計畫編號：NSC93-2112-M-009-015-

執行期間：93 年 08 月 01 日至 94 年 07 月 31 日

執行單位：國立交通大學物理研究所

計畫主持人：林俊源

計畫參與人員：張維仁，陳裕仁，蔡政益

報告類型：精簡報告

報告附件：出席國際會議研究心得報告及發表論文

處理方式：本計畫可公開查詢

中 華 民 國 94 年 6 月 9 日

行政院國家科學委員會專題研究計畫進度報告

子計畫三：強關聯系統中的相分離、電荷有序與 Kondo 效應(2/3)

計畫類別： 個別型計畫 整合型計畫

計畫編號：NSC 93-2112-M-009-015

執行期間： 93 年 8 月 1 日至 94 年 7 月 31 日

計畫主持人：林俊源

共同主持人：莊振益、吳光雄、溫增明、郭義雄

計畫參與人員：張維仁、陳裕仁、蔡政益

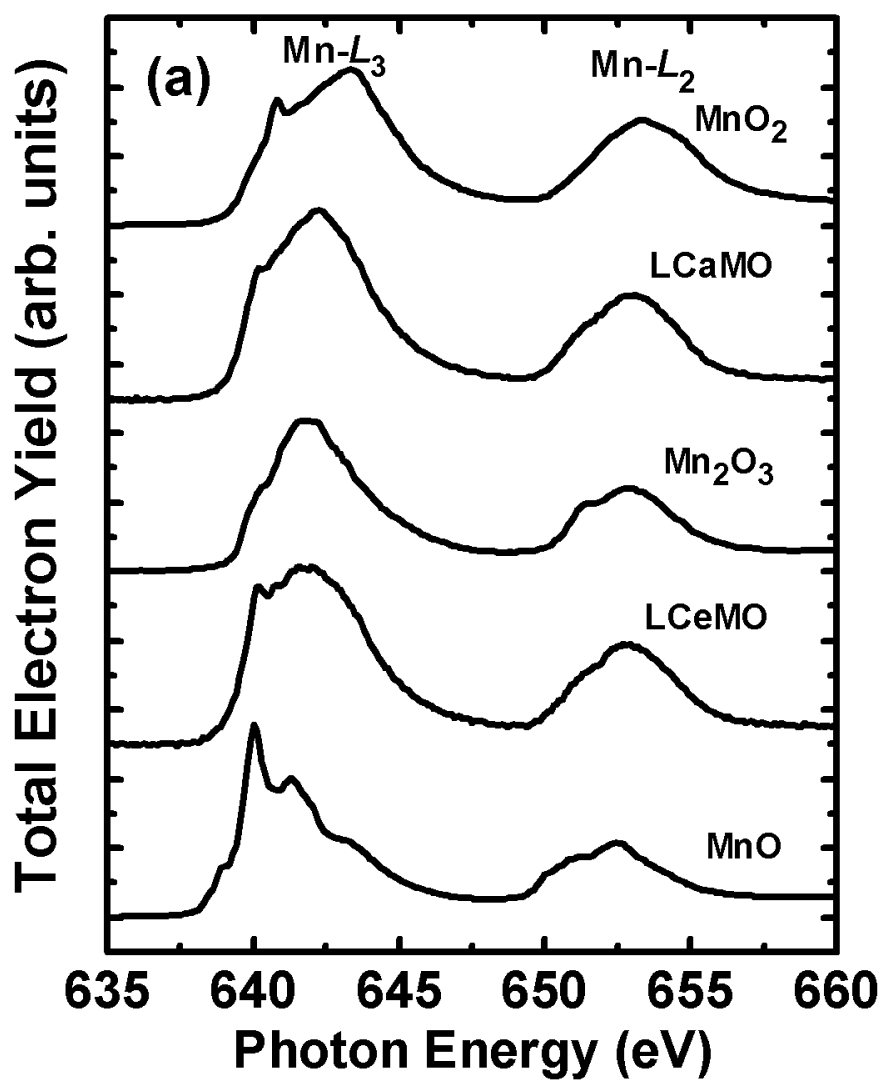
執行單位：國立交通大學 物理研究所

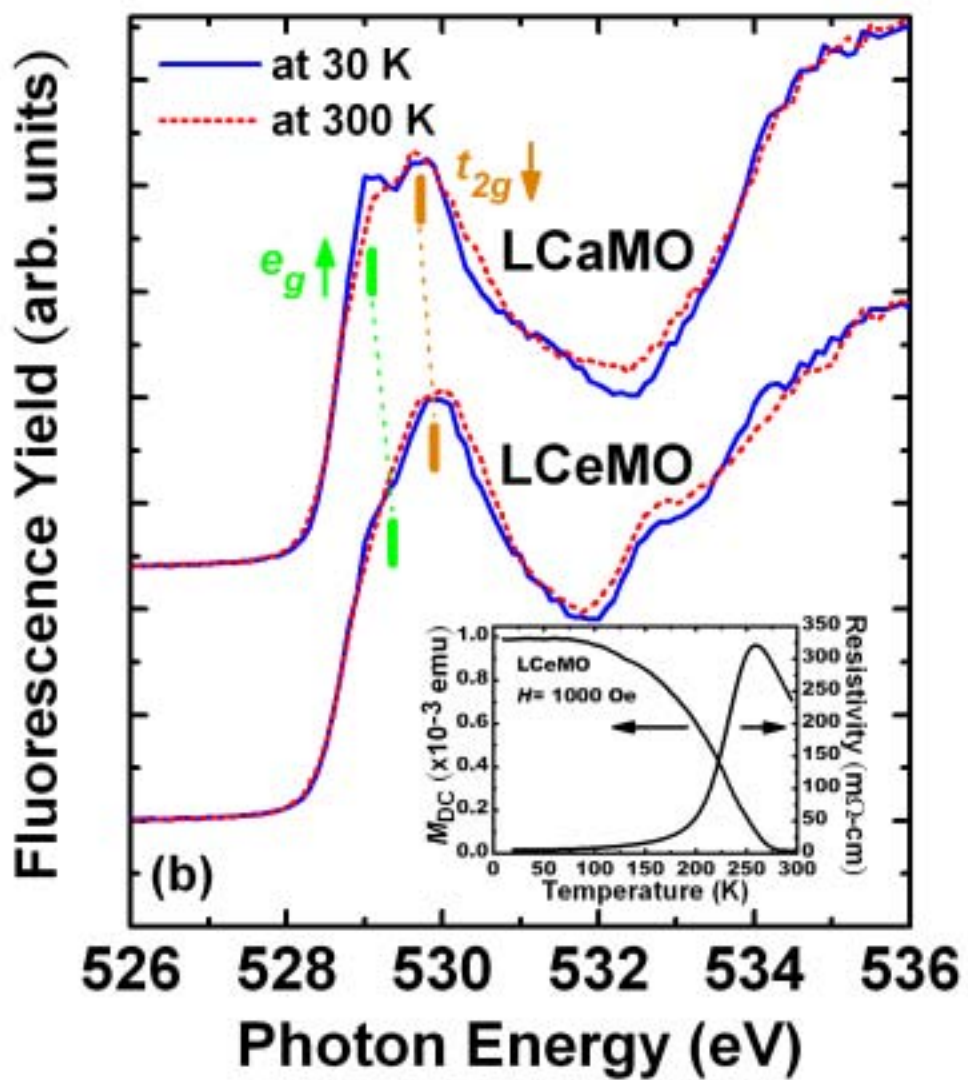
中 華 民 國 94 年 6 月 9 日

在 2004 這一年裏，我們集中研究 $\text{La}_{0.7}\text{Ce}_{0.3}\text{MnO}_3$ (LCeMO)、 LiTiO_4 、 $\text{Na}_x\text{CoO}_2 \cdot y\text{H}_2\text{O}$ 與 magnetic nanoparticles 等課題。茲分述如下。

La_{0.7}Ce_{0.3}MnO₃

$\text{La}_{0.7}\text{Ce}_{0.3}\text{MnO}_3$ 是一個 electron doping 的 CMR 錳氧化物，有別於一般的 hole doping 系統如 $\text{La}_{0.7}\text{Ca}_{0.3}\text{MnO}_3$ 。單相的塊材 LCMO 並無法成長出來；最近幾年，研究者才於薄膜型式中生長出單相的 LCeMQ。我們詳細的研究了高品質 LCeMO 薄膜所需要的生長條件，並由詳細的結構分析驗證了我們薄膜的 epitaxial growth [1]。我們也做了詳細的吸收光譜、傳輸特性、霍爾係數、磁性量測研究，初步由吸收光譜提供的 electron doping 證據已發表[2]，更詳細的結果也已送繳國際期刊 [3]。





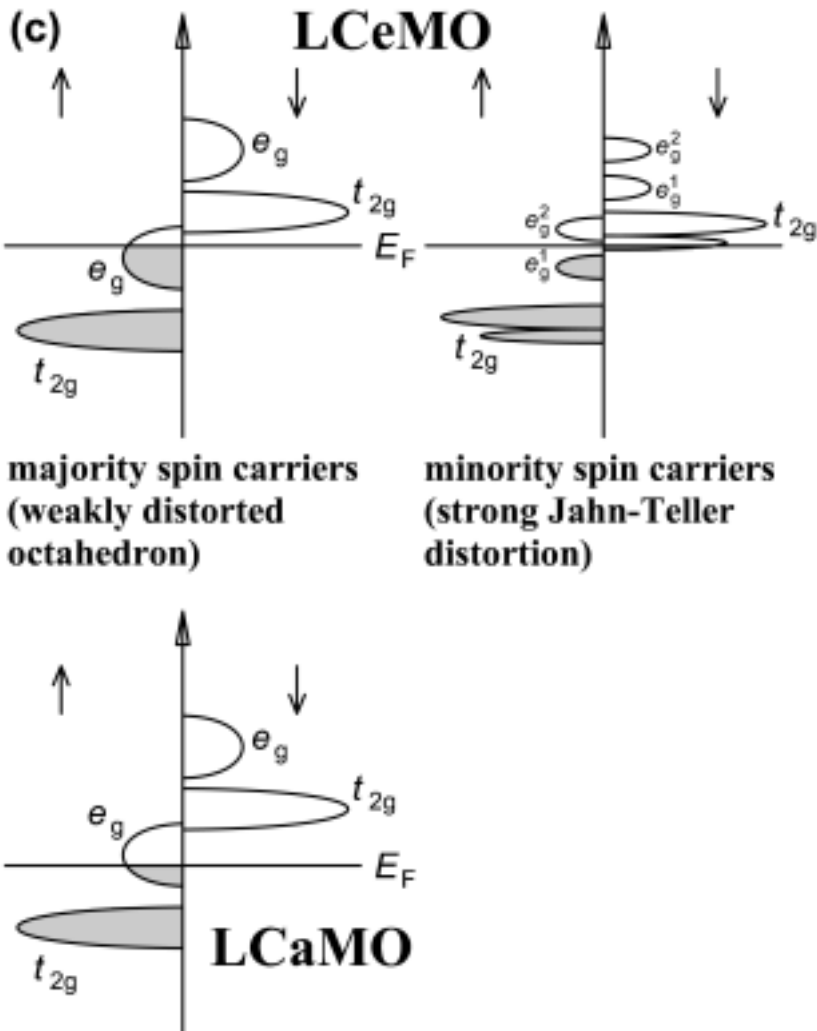


Fig. 1 (a) Spectra of Mn L -edge XAS by total electron yield. (b) Spectra of O K -edge XAS (by fluorescence yield) of LCaMO and LCeMO at 300 and 30 K, respectively. The absorption peaks at 529 and 530 eV indicate the unoccupied states of $e_g\uparrow$ and $t_{2g}\downarrow$ orbitals, respectively. Inset: $\rho(T)$ and $M(T)$ of LCeMO, showing the typical CMR magnetotransport characteristics. (c) Left: Schematic band diagrams describing the majority spin scenario for LCeMO (upper panel) and LCaMO (lower panel). Right: Schematic diagram, quoted from Ref. [4], leading to the minority spin carries in LCeMO.

LiTiO₄

我們也對具 spinel 結構的 LiTiO₄進行了低溫比熱研究，除了確認 LiTiO₄ 確實是傳統的 s -wave 超導體，也首次揭發 LiTiO₄ 的電子具有 moderate coupling，也許不會完全吻合費米液體的特徵。[4]

$\text{Na}_x\text{CoO}_2\cdot y\text{H}_2\text{O}$

我們也發表 $\text{Na}_x\text{CoO}_2\cdot y\text{H}_2\text{O}$ 超導態比熱的研究成果，確立了此新鈔導體的有序參數含有節線，且其磁場下的行為也被詳細研究。[5]預計此論文將對本課題將來的研究有重要影響。

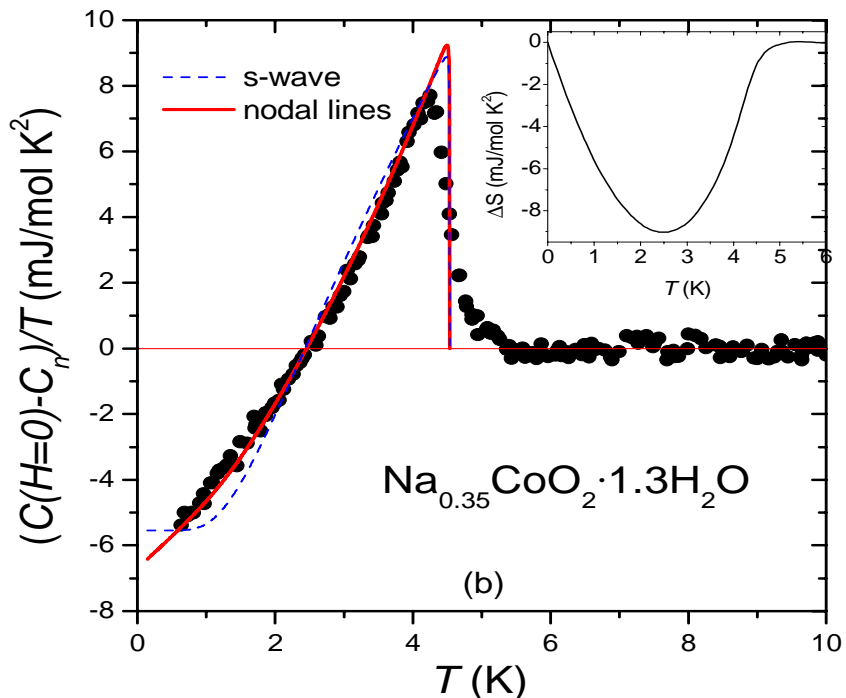


FIG. 2. $\delta C/T \equiv C(H=0)/T - C_n/T$ vs. T for $\text{Na}_{0.35}\text{CoO}_2 \cdot 1.3\text{H}_2\text{O}$. The dashed and solid lines are the fits according to the isotropic s-wave and line nodal order parameters, respectively. Inset: The entropy difference ΔS is calculated by integrating $\delta C(T)/T$ with respect to T according to the data above 0.6 K and the solid line below 0.6 K.

Magnetic nanoparticles

近幾個月，我們也開始應用吸收光譜與磁性量測的技術著手 magnetic nanoparticles 的研究，發現對 magnetic nanoparticles 的材料鑑定與物性探討有很大的幫助。這部分的後續發展值得期待。[6]

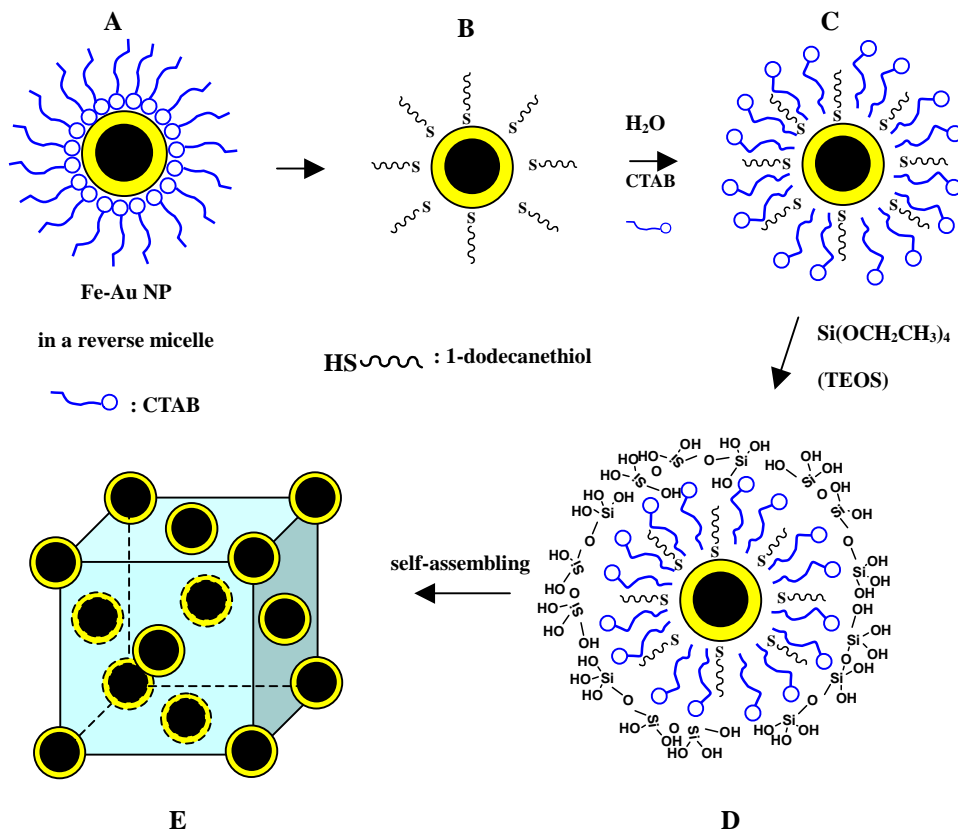


Figure 3. The synthetic strategy for preparing the Fe – Au NPs and the Fe – Au artificial crystal. (A) Fe – Au NPs synthesized using the reverse micelle scheme. (B) Surface modification of the nanoparticles with 1-dodecanethiol. (C) Nanoparticles encapsulated in surfactants (CTAB) to form water-soluble nanoparticles. (D) Directive sol–gel reaction with TEOS to self-assemble Fe – Au NPs in an ordered 3D structure. (E) Fe – Au NPs in a 3D face-centered cubic structure.

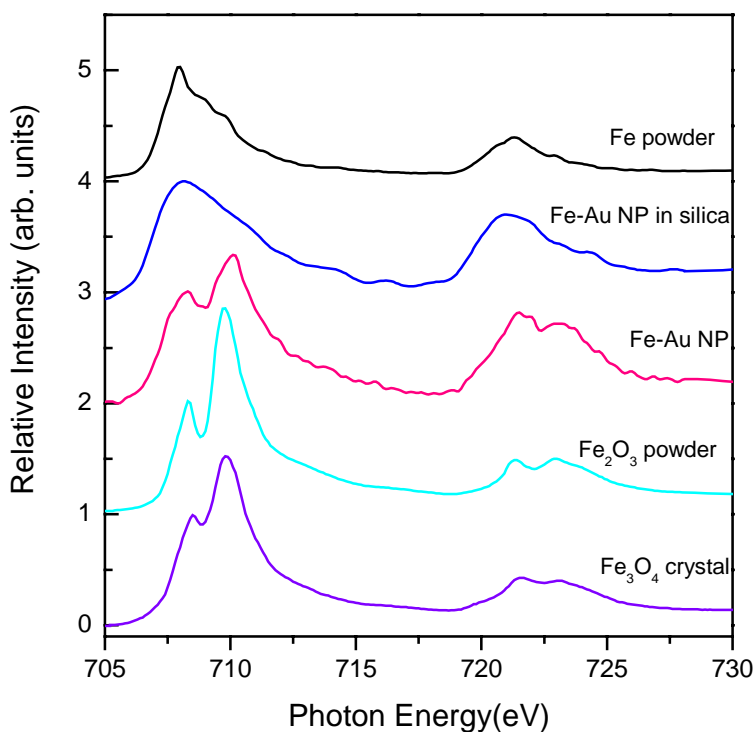


Figure 2. TEM image displaying the dispersed gold-coated iron nanoparticles. The inset presents an enlarged image of one nanoparticle to indicate the lattice image of the core.

References

1. W. J. Chang, C. C. Chang, J. Y. Juang, K. H. Wu, T. M. Wen, Y. S. Gou, C. H. Hsu, and **J.-Y. Lin**, “Effects of compressive epitaxial strain on the magnetotransport properties of single-phase electron-doped $\text{La}_{0.7}\text{Ce}_{0.3}\text{MnO}_3$ ”, Journal of Applied Physics **96**, 4357 (2004).
2. **J.-Y. Lin**, W. J. Chang, J. Y. Juang, T. M. Wen, K. H. Wu, Y. S. Gou, J. M. Lee, J. M. Chen, “Spectroscopic evidence of electron doping in $\text{La}_{0.7}\text{Ce}_{0.3}\text{MnO}_3$ ”, Journal of Magnetism and Magnetic Materials **282**, 237 (2004).
3. W. J. Chang, J. Y. Tsai, H.-T. Jeng, **J.-Y. Lin**, Kenneth Y.-J. Zhang, H. L. Liu, J. Y. Juang, J. M. Lee, J. M. Chen, K. H. Wu, T. M. Uen, and Y. S. Gou, “Electronic structure and the transport properties of $\text{La}_{0.7}\text{Ce}_{0.3}\text{MnO}_3$ ”, submitted to Physical Review Letters.
4. C. P. Sun, **J. -Y. Lin**, S. Mollah, P. L. Ho, H. D. Yang, F. C. Hsu, Y. C. Liao, and M. K. Wu, “Magnetic field dependence of low temperature specific heat of spinel oxide superconductor LiTi_2O_4 ”, Physical Review B **70**, 54519 (2004).
5. H. D. Yang, **J.-Y. Lin**, C. P. Sun, Y. C. Kang, and K. Takada, T. Sasaki, H. Sakurai and E. Takayama-Muromachi, “Evidence of nodal superconductivity in $\text{Na}_{0.35}\text{CoO}_2 \cdot 1.3\text{H}_2\text{O}$: a specific heat study”, Physical Review B**71**, 020504(R) (2005).
6. W. C. Chen, K. H. Wei, J.-Y. Huang, J. Y. Tsai, **J.-Y. Lin**, and J. M. Chen, “Preparation and self-assembly of Fe-Au core-shell magnetic nanoparticles into a three dimensional crystal in nanomagnetic applications”, submitted to Journal of American Chemistry Society.